

## 粒状体のせん断現象の微視的考察

京都大学防災研究所 正員 村山朔郎  
京都大学大学院 学生員 ○松岡 元

さきに述べたように、砂礫のよう粒状体の力学特性によって来たるべき根本機構を真に解明するには、それらが粒子の集合体であるという本来の姿に着目してその運動を微視的立場で把握し、その微視的特性と巨視的特性との相関を考察しなければならない。二軸方向のアプローチを主にあたって、主に次のようないくつかの問題点が考えられる。(1) 粒状体の粒度分布と粒子配置(構造)の関係、(2) 外力あるいは擾乱による粒状体中の個々の粒子の運動特性、(3) 個々の粒子の力学運動の集合としての粒状体の巨視的力学挙動。ニニでは粒状体のせん断現象に対して上の立場でアプローチを行なうため、まず考察の便宜上 2 次元の場合について粒度分布と粒子配置の関係を推定を試み、その後種々の径のアルミ棒および光弹性材料の棒の積層体を粒状体の 2 次元モデルとしてせん断試験を行はり、せん断中の粒子の運動特性および粒子間力の伝達特性について考察を加えた。

### 1. 粒状体の粒度分布から粒子配置を推定する試み

箱の中に粒状体を注ぎ込むと個々の粒子は恐らく粒子の落下地点付近の安定する位置に順次積み上げられるであろう。粒子の抽出法としてモンテカルロ法を採用し、この両の状況をシミュレートすることを試みた。以前に 2 種の径の場合について同様の方法で粒子配置の推定を行はり、粒子が自重をもった場合の配置の安定性についても検討を加えたので、ニニでは 4 種の径( $\phi 1.6\text{ mm}$ ,  $\phi 3\text{ mm}$ ,  $\phi 5\text{ mm}$ ,  $\phi 9\text{ mm}$ )がさなる粒状体の粒子配置のシミュレーションについて述べる。4 種の径の混合重量比(10:40:40:10)を粒子数比(39:44:16:1)に換算し、乱数表をひいて 01 ～ 39 の数字が出たときは  $\phi 1.6\text{ mm}$ , 40 ～ 83 のときは  $\phi 3\text{ mm}$ , 84 ～ 99 のときは  $\phi 5\text{ mm}$ , 100 のときは  $\phi 9\text{ mm}$  の粒子をそれぞれ抽出するににする。そしてその粒子配置は最下段では左から右に横につめて並べるものとし、右端に達すれば右から左への上の段で粒子の安定する位置に順次積み上げるようにし、再び左端に達すれば左から右へと ちうど砂粒を左右にふりながらばらまくように並べるものとした。このようないくつかの方法で 4 種の径の混合粒子が  $6\text{ cm} \times 2\text{ cm}$  の箱の中へ入れられた場合の粒子配置をシミュレートしたのが図-1 である。図中の連続番号は並べた順序を意味する。この向げき比を計算すると  $\bar{\epsilon} = 0.31$  となり、実験での向げき比 0.28 とよく対応した。

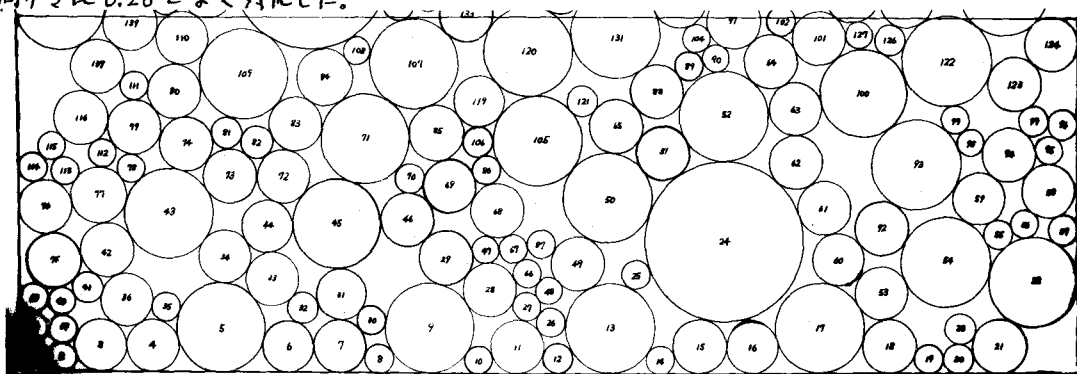


図-1 モンテカルロ法を利用して粒度分布から粒子配置を推定する試み

## 2. 粒状体中の個々の粒子の接点傾斜角 $\theta$ の度数分布特性

せん断中の粒子の運動状態を評価する1つの指標としてせん断面上にある粒子相互の接点 $\theta$ の度数分布をとり、せん断前の初期状態での $\theta$ の度数分布およびせん断をうけた場合のその変化について調べた。図-3は2種の径( $\phi 1.6\text{mm}$ ,  $\phi 3\text{mm}$ )のアルミ棒(混合重量比60:40)を実際に積み上げてせん断前の $\theta$ の度数分布( $20^\circ$ 間隔; 接点数85)を求めたものであり、図-4は1.で述べた方法によつてこの2種の径の棒の粒子配置をシミュレートし、それをもとにして $\theta$ の度数分布(接点数200)を求めたものである。この2つへ図はほぼ似た傾向を示しているが、これらより $\theta$ は両端附近の変域をのぞいてはほぼ一様にランダムな分布をばし、特別なピークをもつたないのがみられる。これは多數の粒子を対象とした場合は、ほぼ同じ程度の確率で種々の傾斜角 $\theta$ をもつて接し得ることを意味している。次にせん断をうけて例えば写真-1に示すような粒子配置にはいったときの $\theta$ の度数分布(接点数24)を図-5に示す。 $\theta$ の正の領域にガリよったピークをもつような分布に変化するがみられるが、これはせん断により図-2(a)の2点接点配置から(b)の1点接点配置に変化する割合が多くなるのがその主要な原因と考えられる。なお $\theta$ の符号は図-2に示すように直下の粒子を乗り上げるときは正、下ときは負である。

## 3. 光弾性実験によるせん断時の粒子間伝達力の実態把握

せん断抵抗力はせん断面上の個々の粒子に働く粒子間力の水平方向成分と考えられるので、接点傾斜角 $\theta$ とともにそこに伝達される力の大きさが重要な要因となる。せん断時の粒子間力の伝達の実態を知るために、2種の径( $\phi 6.2\text{mm}$ ,  $\phi 10\text{mm}$ )の光弾性材料の丸棒(奥行き2cm)を用いてせん断試験を行なった。その光弾性継写真の一例を写真-2に示す。これらの継写真を解析することにより、せん断時にせん断面上の粒子に伝達される粒子間力の大きさと接点傾斜角 $\theta$ の間に相関性があることが見い出された。詳細は講演時に発表する。

なお光弾性実験の協力を得ていろいろ京大土木丹羽研究室の大厚院生森竹淳君に心からの謝意を表します。

※ 村山朝郎・松岡元: 2次元粒状体の応力伝達について  
の試み 土木学会関西支部講演概要(昭和44年)

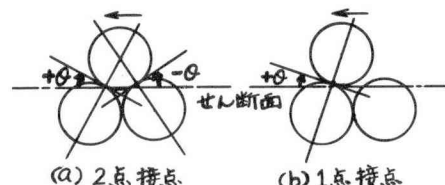


図-2 せん断による接点傾斜角 $\theta$ の変化

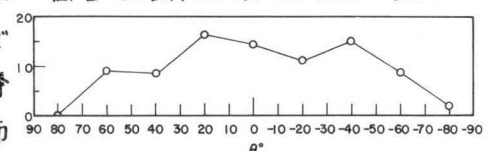


図-3 実測によるせん断前の $\theta$ の度数分布

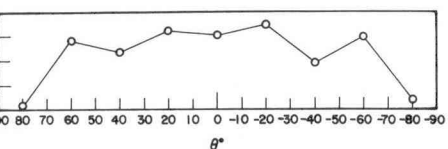


図-4 シミュレーションによるせん断前の $\theta$ の度数分布

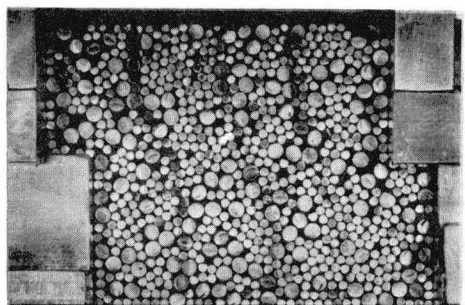


写真-1 せん断時の粒子配置( $\phi 1.6\text{mm}$ ,  $\phi 3\text{mm}$ )

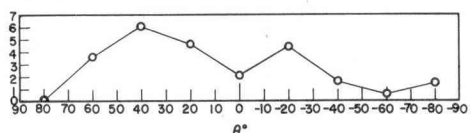


図-5 実測によるせん断時の $\theta$ の度数分布

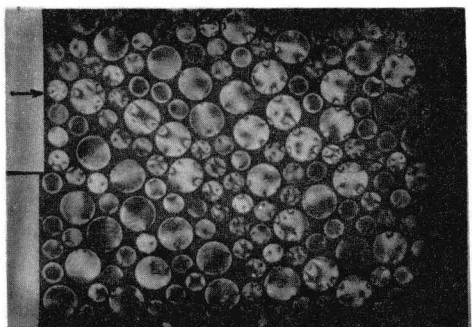


写真-2 せん断時の粒子間力の伝達をあらわす光弾性継写真